

OPTYMALNE KSZTAŁTOWANIE PRĘTÓW ŚCISKANYCH SIŁĄ SKIEROWANĄ  
DO BIEGUNA, PRZY POTĘGOWYM PRAWIE FIZYCZNYM<sup>1)</sup>,

ANTONI GAJEWSKI (KRAKÓW)

1. Uwagi wstępne

Niniejsza praca poświęcona jest problemowi optymalnego kształtowania osiowo-ściskanych prętów wspornikowych, wykonanych z materiału nieliniowo-sprężystego lub sprężysto-plastycznego z nieograniczoną granicą plastyczności, który może być opisany potęgowym prawem fizycznym. Pręt wspornikowy jest ściskany siłą skupioną działającą na jego swobodnym końcu, skierowaną podczas wyboczenia do ustalonego punktu.

Podobny problem, w przypadku materiału liniowo-sprężystego, został rozwiązany w pracy A. GAJEWSKIEGO i M. ŻYCKOWSKIEGO [1], gdzie podano również szerszy przegląd literatury dotyczącej tego tematu.

Nieliniowo-sprężyste lub sprężysto-plastyczne własności materiału mają jednak istotny wpływ na optymalny kształt pręta; szereg szczególnych rozwiązań otrzymano w pracach W. KRZYSIA [2], [3], A. GAJEWSKIEGO [4], A. GAJEWSKIEGO i M. ŻYCKOWSKIEGO [5], przy założeniu, że sprężysto-plastyczne własności materiału są opisane za pomocą specjalnie dobranych praw fizycznych, zaproponowanych w pracy [3].

W wymienionych pracach zwrócono również uwagę na wpływ zachowania się siły po utracie stateczności na jej wartość krytyczną i na odpowiadający jej kształt optymalny pręta. Wpływ ten może być bardzo istotny, szczególnie w przypadkach, w których zachowanie się siły jest niekonserwatywne. Jak wykazano w pracy A. GAJEWSKIEGO i M. ŻYCKOWSKIEGO [6], oraz M. FARSHADA i I. TADJBAKHSZA [7], konserwatywność układu ma tu podstawowe znaczenie, bowiem pozwala na stosowanie statycznego kryterium stateczności oraz powoduje względne uproszczenie odpowiednich warunków optymalności. W dalszym ciągu ograniczymy się do przypadku działania siły skierowanej do bieguna, tzn. do zagadnienia konserwatywnego.

Optymalne kształty ściskanych prętów liniowo-sprężystych oraz prętów sprężysto-plastycznych z nieograniczoną granicą plastyczności charakteryzują się występowaniem zerowych przekrojów. Prowadzi to do nieskończonego wzrostu naprężeń i wymaga przyjęcia dodatkowego warunku wytrzymałościowego, ograniczającego naprężenia. Warunek ten uwzględniono w pracy S. H. RASMUSSENA [8], w przypadku optymalnego kształtowania pręta przegubowo zamocowanego, ściskanego siłą eulerowską (o stałym kierunku i punkcie przyłożenia), wykonanego z materiału sprężysto-plastycznego, opisanego nieliniowym

<sup>1)</sup> Praca wykonana została w ramach problemu węzłowego 05.12 pt. „Wytrzymałość i optymalizacja konstrukcji maszynowych i budowlanych” — koordynowanego przez IPPT PAN.

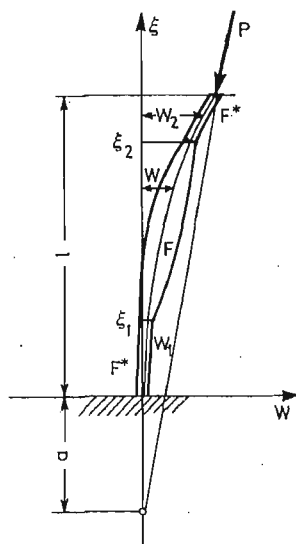
prawem Ramberga-Osgooda. Odpowiedni warunek optymalności otrzymano w oparciu o klasyczny rachunek wariacyjny, a zagadnienie rozwiązano na drodze numerycznej metodą kolejnych przybliżeń.

Okazuje się jednak, że istnieje również możliwość otrzymania rozwiązań ścisłych w przypadku optymalnego kształtowania prętów wspornikowych, ściskanych siłą skierowaną do bieguna, jeżeli ograniczymy się do potęgowego prawa fizycznego. Przedstawione niżej rozwiązania ścisłe, z uwzględnieniem warunków ograniczających pole powierzchni przekroju poprzecznego, mogą stanowić bardzo dobre kryterium oceny zbieżności różnych metod przybliżonych, które, z konieczności, muszą być stosowane w podobnych zagadnieniach przy innych prawach fizycznych.

## 2. Sformułowanie zagadnienia

Przedmiotem rozważań jest jednostronnie, sprężyste utwierdzone pręt, o długości  $l$ , ściskany stałą siłą  $P$ , działającą na jego swobodnym końcu (rys. 1). Siła ta jest stale skierowana do bieguna położonego w odległości „ $a$ ” od utwierdzenia ( $\alpha = a/l$ ). Kształt przekroju poprzecznego pręta i jego związek z momentem bezwładności przekroju jest scharakteryzowany zależnością:

$$(2.1) \quad \begin{aligned} \Phi(\xi) &= [g(\xi)]^{\kappa}, & g(\xi) &= J/J_0, & \Phi(\xi) &= F/F_0, \\ F_0 &= F(\xi_0), & J_0 &= J(\xi_0), \end{aligned}$$



Rys. 1

w której:  $g(\xi)$  oznacza bezwymiarowy moment bezwładności,  $\Phi(\xi)$  — pole powierzchni przekroju,  $F_0$  i  $J_0$  oznaczają odpowiednio pole powierzchni i moment bezwładności w pewnym, na ogół dowolnie wybranym punkcie  $\xi = \xi_0$  a wykładnik  $\kappa$  określa sposób wyboczenia pręta ( $\kappa = 1$  — pręt płaskozbieżny, podlegający wyboczeniu z płaszczyzny

zbieżności,  $\kappa = 1/2$  — pręt wszechstronnie równomiernie zbieżny,  $\kappa = 1/3$  — pręt płasko-zbieżny, podlegający wyboczeniu w płaszczyźnie zbieżności). Będziemy w dalszym ciągu stosowali teorię modułu stycznego wg. koncepcji F. R. SHANLEYA [9], która sprowadza się w praktyce do zastąpienia modułu Younga  $E$  w równaniu linii ugięcia dla zakresu sprężystego, przez moduł styczny  $\bar{E} = d\sigma/d\varepsilon$  wykresu ściskania  $\sigma = \sigma(\varepsilon)$ . W dalszym ciągu ograniczymy się do potęgowego prawa fizycznego, które zapiszemy w postaci:

$$(2.2) \quad \varepsilon = |\sigma/\eta|^n \operatorname{sgn} \sigma,$$

gdzie  $\eta$  i  $n$  oznaczają pewne znane stałe materiałowe.

W niniejszej pracy uwzględnimy również warunek wytrzymałościowy:

$$(2.3) \quad P/F \leq \sigma^*,$$

w którym  $\sigma^*$  oznacza maksymalne naprężenie dopuszczalne. Warunek (2.3) zapiszemy dalej w postaci:

$$(2.4) \quad F \geq F^* \quad \text{lub} \quad \Phi \geq \Phi^*.$$

Gdy parametr  $\alpha = a/l$ , określający położenie centrum siły jest zawarty w granicach:  $0 \leq \alpha < \infty$  i  $-\infty < \alpha < -1$ , wówczas wyboczenie pręta następuje w postaci jednej półfali, co ogranicza występowanie minimalnych przekrojów  $\Phi^*$  do przedziałów leżących w pobliżu obu końców pręta. Ograniczymy się do powyższych wartości parametru  $\alpha$  i przyjmiemy, że część pręta od utwierdzenia do, chwilowo nieokreślonego, punktu  $\xi_1$ , oraz od nieokreślonego jeszcze punktu  $\xi_2$  do swobodnego końca  $\xi = l$  mają stały przekrój  $\Phi^*$ . Zarówno część środkowa (zawarta między  $\xi_1$  i  $\xi_2$ ), o poszukiwanym kształcie optymalnym, jak i części o stałym przekroju znajdują się w stanie nieliniowo-sprężystym, opisanym zależnością (2.2).

Równanie linii ugięcia pręta obciążonego w sposób przedstawiony na rys. 1 są następujące:

$$(2.5) \quad \begin{aligned} (\bar{E}J^*w_1'')'' + Pw_1'' &= 0 & \text{dla: } & 0 \leq \xi \leq \xi_1 \\ (\bar{E}Jw'')'' + Pw'' &= 0 & \text{dla: } & \xi_1 \leq \xi \leq \xi_2 \\ (\bar{E}J^*w_2'')'' + Pw_2'' &= 0 & \text{dla: } & \xi_2 \leq \xi \leq l, \end{aligned}$$

gdzie:  $w_1$  i  $w_2$  oznaczają ugięcie w punkcie  $\xi$  dla części o stałym przekroju,  $w$  — ugięcie dla części o przekroju zmiennym,  $w' = dw/d\xi$ ,  $\bar{E}$  = moduł styczny,  $J^*$  — moment bezwładności przekrojów stałych.

Jeśli w dalszym ciągu wprowadzimy bezwymiarowe oznaczenia:

$$(2.6) \quad \begin{aligned} y_1 &= w_1/l, & y_2 &= w_2/l, & y &= w/l, & x &= \xi/l, & \Phi^* &= F^*/F_0, \\ f(x) &= \bar{E}(x)/E, & f^* &= \bar{E}/E = \text{const.} \\ \beta &= \frac{Pl^2}{EJ_0}, \end{aligned}$$

to równania (2.5) możemy zapisać w postaci:

$$(2.7) \quad \begin{aligned} (f^*g^*y_1'')'' + \beta y_1'' &= 0 & \text{dla: } & 0 \leq x \leq x_1 \\ [f(x)g(x)y'']'' + \beta y'' &= 0 & \text{dla: } & x_1 \leq x \leq x_2 \\ (f^*g^*y_2'')'' + \beta y_2'' &= 0 & \text{dla: } & x_2 \leq x \leq 1. \end{aligned}$$

Do równań tych należy dołączyć warunki brzegowe, które zgodnie z przyjętym charakterem siły ściskającej, mają następującą postać:

$$(2.8) \quad \begin{aligned} y_1(0) &= 0 \\ y_1'(0) - \psi(f^*g^*y_1')_{x=0} &= 0 \\ (f^*g^*y_2')_{x=1} &= 0 \\ \left[ (f^*g^*y_2')' + \beta \left( y_2' - \frac{y_2}{1+\alpha} \right) \right]_{x=1} &= 0, \end{aligned}$$

w której  $\psi$  charakteryzuje sprężystość utwierdzenia (gdy  $\psi = 0$  — pręt jest sztywnie utwierdzony, a gdy  $\psi \rightarrow \infty$  — pręt jest zamocowany przegubowo). W dalszym ciągu będziemy rozważali tylko pręty sztywnie zamocowane.

Całkując dwukrotnie równania (2.7) i wprowadzając nowe zmienne zależne:

$$(2.9) \quad \begin{aligned} v_1(x) &= y_1(x) - \frac{\bar{B}_1}{\beta} - \frac{\bar{C}_1}{\beta}x, \\ v(x) &= y(x) - \frac{\bar{B}}{\beta} - \frac{\bar{C}}{\beta}x \\ v_2(x) &= y_2(x) - \frac{\bar{B}_2}{\beta} - \frac{\bar{C}_2}{\beta}x \quad (\bar{B}_1, \bar{C}_1 - \text{stałe całkowania}) \end{aligned}$$

otrzymujemy:

$$(2.10) \quad \begin{aligned} G^* + \frac{v_1}{v_1'} &= 0, \quad 0 \leq x \leq x_1, \\ G(\Phi) + \frac{v}{v'} &= 0, \quad x_1 \leq x \leq x_2, \\ G^* + \frac{v_2}{v_2'} &= 0, \quad x_2 \leq x \leq 1, \end{aligned}$$

gdzie:  $G^*$  i  $G$  są zdefiniowane następująco:

$$(2.11) \quad \begin{aligned} G(\Phi) &= \frac{1}{\beta} f(\Phi) g(\Phi) = \frac{1}{\beta} \Phi^{1/\mu} f(\Phi), \\ G^* &= \frac{1}{\beta} f(\Phi^*) g^* = \frac{1}{\beta} \Phi^{*1/\mu} f(\Phi^*). \end{aligned}$$

Funkcja  $G(\Phi)$  jest zależna od zmiennej  $x$  za pośrednictwem funkcji  $\Phi(x)$ , natomiast wartość  $G^*$  jest stała; w przypadku potęgowego prawa fizycznego (2.2) ze wzorów (2.11) otrzymujemy:

$$(2.12) \quad \begin{aligned} G(\Phi) &= \bar{G} \Phi^{1/\mu+n-1} \\ G^* &= \bar{G} \Phi^{*(1/\mu+n-1)} \\ \bar{G} &= \frac{J_0}{nF_0 l^2} \left( \frac{\eta F_0}{P} \right)^n. \end{aligned}$$

Korzystając z warunków ciągłości momentu zginającego, siły poprzecznej, funkcji ugięcia i jej pierwszej pochodnej w punktach  $x_1$  i  $x_2$  otrzymujemy równości:  $\bar{B}_1 = \bar{B}_2 = \bar{B}$ ,

$\bar{C}_1 = \bar{C}_2 = \bar{C}$  oraz, z równań (2.8), warunki brzegowe (przy  $\psi = 0$ ):

$$(2.13) \quad \begin{aligned} v_1(0) - \alpha v_1'(0) &= 0, \\ v_2(1) &= 0. \end{aligned}$$

### 3. Optymalizacja kształtu pręta. Rozwiązanie ogólne

Zasadniczy problem pracy polega na znalezieniu takiego kształtu  $\Phi(x)$  oraz punktów zszycia  $x_1$  i  $x_2$ , aby objętość pręta była minimalna (przy ustalonej wartości siły krytycznej), tzn. aby:

$$(3.1) \quad V = F_0 l \left[ \int_0^{x_1} \Phi^* dx + \int_{x_1}^{x_2} \Gamma \left( -\frac{v}{v''} \right) dx + \int_{x_2}^1 \Phi^* dx \right] = \min.$$

W funkcjonał (3.1)  $\Gamma$  jest funkcją odwrotną do  $G(\Phi)$  i wynika z rozwiązania drugiego z równań (2.10) ze względu na  $\Phi$ .

Problem polega na minimalizacji funkcjonału (3.1), przy czym nie wszystkie wartości brzegowe są niezależne i ustalone; nie są również określone wartości współrzędnych  $x_1$  i  $x_2$ . Jest to więc problem z końcami ruchomymi; obok równań Eulera-Lagrange'a należy wykorzystać podstawowy warunek konieczny istnienia ekstremum funkcjonału  $\delta V = 0$ .

Warunek transwersalności (podany w pracy [6]) prowadzi do dwóch równań określających skoki w wartościach drugich pochodnych przy z góry założonych skokach pola powierzchni przekrojów w punktach  $x_1$  i  $x_2$ .

W dalszym ciągu założymy ciągłość naprężeń w punktach  $x_1$  i  $x_2$ , a więc również pola powierzchni przekrojów; z warunku transwersalności wynika wówczas ciągłość drugich pochodnych ugięcia w tych punktach:

$$(3.2) \quad \begin{aligned} v''(x_1) &= v_1''(x_1), \\ v''(x_2) &= v_2''(x_2). \end{aligned}$$

W pracy [6] wykazano również, że przy obciążeniu konserwatywnym, równanie Eulera-Lagrange'a dla funkcjonału (3.1) przybiera prostą postać:

$$(3.3) \quad v''^2 = C_1 \dot{\Gamma}, \quad \text{gdzie:} \quad \dot{\Gamma} = \frac{d\Gamma}{d\left(-\frac{v}{v''}\right)}.$$

W przypadku prawa potęgowego (2.2):

$$(3.4) \quad \dot{\Gamma} = \frac{1}{1/\kappa + n - 1} \bar{G}^{-1/(\kappa+n-1)} \left( -\frac{v}{v''} \right)^{-\frac{1/\kappa+n-2}{1/\kappa+n-1}}$$

i równanie (3.3) można sprowadzić do prostej postaci nieliniowego równania różniczkowego trzeciego rzędu:

$$(3.5) \quad v'' v^{[1-\kappa(2-n)]/(1+\kappa n)} = C, \quad C = \text{const.}$$

Równanie to może być scałkowane na drodze analitycznej; podstawiając bowiem:

$$(3.6) \quad p(v) = v'(x), \quad v''(x) = p \frac{dp}{dv},$$

po prostych przekształceniach otrzymujemy:

$$(3.7) \quad vp(v) = \pm (A_1' v^{2\kappa/(1+\kappa n)} + A_2')^{1/2}, \quad A_1', A_2' — \text{stałe całkowania}$$

a stąd:

$$(3.8) \quad x = \pm \int (A_1' v^{2\kappa/(1+\kappa n)} + A_2')^{-1/2} dv.$$

Dokonując podstawienia:

$$(3.9) \quad -\frac{A_1'}{A_2'} v^{2\kappa/(1+\kappa n)} = \sin^2 \varphi,$$

rozwiązanie równania (3.3) możemy przedstawić w następującej postaci parametrycznej:

$$(3.10) \quad \begin{cases} v = A_1 (\sin \varphi)^{1/\kappa+n} & \varphi_1 \leq \varphi \leq \varphi_2 \\ x = A_2 \int_{\bar{\varphi}}^{\varphi} |\sin \varphi|^{1/\kappa+n-1} d\varphi & \bar{\varphi} — \text{ pewna stała całkowania} \end{cases}$$

Poszukiwane bezwymiarowe pole powierzchni przekroju obliczymy z równań (2.10) i (2.12):

$$(3.11) \quad \Phi(\varphi) = \left[ \frac{A_2^2}{(1/\kappa+n)G} \right]^{1/(\frac{1}{\kappa}+n-1)} \sin^2 \varphi.$$

Ogólne rozwiązanie zagadnienia składa się zatem z rozwiązania pierwszego z równań (2.10):

$$(3.12) \quad v_1(x) = B_1 \sin \omega x + B_2 \cos \omega x, \quad 0 \leq x \leq x_1,$$

gdzie:

$$(3.13) \quad \omega = (G^*)^{-1/2},$$

rozwiązania (3.10) oraz rozwiązania trzeciego z równań (2.10):

$$(3.14) \quad v_2(x) = C_1 \sin \omega x + C_2 \cos \omega x, \quad x_2 \leq x \leq 1.$$

Stałe  $A_1$ ,  $A_2$ ,  $\bar{\varphi}$ ,  $B_1$ ,  $B_2$ ,  $C_1$ ,  $C_2$  oraz punkty zszycia  $x_1$  i  $x_2$  należy wyznaczyć na podstawie warunków brzegowych (2.13) i warunków zszycia:

$$(3.15) \quad \begin{aligned} v_1(x_1) &= v(x_1), & v(x_2) &= v_2(x_2), \\ v_1'(x_1) &= v'(x_1), & v'(x_2) &= v_2'(x_2), \\ v_1''(x_1) &= v''(x_1), & v''(x_2) &= v_2''(x_2). \end{aligned}$$

Ponadto musimy wyznaczyć siłę krytyczną  $P$ ; obliczymy ją podając pole powierzchni przekroju w pewnym, na ogół dowolnie wybranym punkcie  $x_0$ :

$$(3.16) \quad \Phi(x_0) = \Phi_0.$$

Przyjmijmy w dalszym ciągu, że współrzędnej  $x_1$  odpowiada wartość parametru  $\varphi_1$ , współrzędnej  $x_2$  wartość  $\varphi_2$ , a współrzędnej  $x_0$  — wartość  $\varphi_0$ .

Ponieważ linia ugięcia pręta po wyboczeniu jest określona z dokładnością do stałego mnożnika, więc jedna ze stałych jest dowolna; dla uproszczenia obliczeń przyjmijmy:

$$(3.17) \quad A_1 = 1.$$

Wprowadzimy ponadto parametr:

$$(3.18) \quad \Theta = \bar{\Phi}^*/\bar{\Phi}_0, \quad 0 \leq \Theta \leq 1,$$

określający stosunek powierzchni przekroju w punkcie  $x_1$  (lub  $x_2$ ) do powierzchni przekroju w punkcie  $x_0$ , oraz wyrazimy stałą  $\bar{G}$  za pomocą parametru  $\omega$  ze wzoru (3.13).

Przy powyższych oznaczeniach otrzymujemy ostatecznie 12 równań algebraicznych, pozwalających na obliczenie poszukiwanych stałych:

$$B_2 - \alpha\omega B_1 = 0 \tag{1}$$

$$C_1 \sin \omega + C_2 \cos \omega = 0 \tag{2}$$

$$B_1 \sin \omega x_1 + B_2 \cos \omega x_1 = (\sin \varphi_1)^{1/\kappa+n} \tag{3}$$

$$\omega A_2 (B_1 \cos \omega x_1 - B_2 \sin \omega x_1) = (1/\kappa+n) \cos \varphi_1 \tag{4}$$

$$\omega^2 A_2^2 (\sin \varphi_1)^{1/\kappa+n-2} (B_1 \sin \omega x_1 + B_2 \cos \omega x_1) = 1/\kappa+n \tag{5}$$

$$(3.19) \quad C_1 \sin \omega x_2 + C_2 \cos \omega x_2 = (\sin \varphi_2)^{1/\kappa+n} \tag{6}$$

$$\omega A_2 (C_1 \cos \omega x_2 - C_2 \sin \omega x_2) = (1/\kappa+n) \cos \varphi_2 \tag{7}$$

$$\omega^2 A_2^2 (\sin \varphi_2)^{1/\kappa+n-2} (C_1 \sin \omega x_2 + C_2 \cos \omega x_2) = 1/\kappa+n \tag{8}$$

$$\Theta^{1/\kappa+n-1} \omega^2 A_2^2 (\sin \varphi_0)^{2(1/\kappa+n-1)} = 1/\kappa+n \tag{9}$$

$$x_1 = A_2 \int_{\bar{\varphi}}^{\varphi_1} |\sin \varphi|^{1/\kappa+n-1} d\varphi \tag{10}$$

$$x_2 = A_2 \int_{\bar{\varphi}}^{\varphi_2} |\sin \varphi|^{1/\kappa+n-1} d\varphi \tag{11}$$

$$x_0 = A_2 \int_{\bar{\varphi}}^{\varphi_0} |\sin \varphi|^{1/\kappa+n-1} d\varphi \tag{12}$$

Znajomość parametru  $\omega$  pozwala wyznaczyć również siłę krytyczną, którą obliczamy z równania (2.12):

$$(3.20) \quad P = \eta \Theta^{(1/\kappa+n-1)/n} \left( \frac{\omega^2}{nc^{1/\kappa} l^2} \right)^{1/n} (F_0^* \bar{\Phi}_0)^{(1/\kappa+n-1)/n} = \eta \left( \frac{\omega^2}{nc l^2} \right)^{1/n} F^{*(1/\kappa+n-1)/n},$$

gdzie:

$$(3.21) \quad c = F_0/J_0^*.$$

Wzór (3.20) służy praktycznie do określenia przekroju podstawowego  $F_0$  dla danej siły  $P_0$ . Po prostych przekształceniach z układu równań (3.19) obliczamy stałe:

$$(3.22) \quad \begin{aligned} B_1 &= \frac{(\sin \varphi_1)^{1/\kappa+n}}{\sin \omega x_1 + \alpha \omega \cos \omega x_1}, & B_2 &= \frac{\alpha \omega (\sin \varphi_1)^{1/\kappa+n}}{\sin \omega x_1 + \alpha \omega \cos \omega x_1}, \\ C_1 &= \frac{\cos \omega (\sin \varphi_2)^{1/\kappa+n}}{\sin [\omega(1-x_2)]}, & C_2 &= \frac{\sin \omega (\sin \varphi_2)^{1/\kappa+n}}{\sin [\omega(1-x_2)]}, \\ A_2 &= \frac{(1/\kappa+n)^{1/2}}{\omega \Theta^{(1/\kappa+n-1)/2} (\sin \varphi_0)^{1/\kappa+n-1}}, \\ \varphi_1 &= \arcsin(\Theta^{1/2} \sin \varphi_0), & (\sin \varphi_1 &= \Theta^{1/2} \sin \varphi_0 = \sin \varphi_2), \\ \varphi_2 &= \frac{\pi}{2} + \arccos(\Theta^{1/2} \sin \varphi_0). \end{aligned}$$

Pozostałe parametry:  $\omega$ ,  $x_1$ ,  $x_2$ ,  $\bar{\varphi}_0$ ,  $\varphi$  musimy wyznaczyć z układu równań przestępnych:

$$(3.23) \quad -\frac{\cos \varphi_1 (\sin \omega x_1 + \alpha \omega \cos \omega x_1)}{\cos \varphi_2 (\cos \omega x_1 - \alpha \omega \sin \omega x_1)} = \operatorname{tg}[\omega(1-x_2)],$$

$$(3.24) \quad \operatorname{tg} \varphi_2 = -(1/\kappa+n)^{1/2} \operatorname{tg}[\omega(1-x_2)],$$

oraz równań (10) (11) i (12) układu (3.19). Równania (3.19)<sub>10 11 12</sub>, (3.13) i (3.24) można rozwiązać analitycznie stosując metodę odwrotną, która polega na przyjęciu z góry parametrów  $\Theta$  i  $x_0$  oraz wyznaczeniu odpowiadającej im wartości parametru  $\alpha$  (określającego położenie bieguna siły).

Obliczając zatem kolejno poniższe stałe, otrzymamy rozwiązanie zagadnienia:

$$(3.25) \quad \varphi_1 = \arcsin(\Theta^{1/2} \sin \varphi_0),$$

$$(3.26) \quad \varphi_2 = \pi - \varphi_1,$$

$$(3.27) \quad H = \frac{(1/\kappa+n)^{1/2}}{\Theta^{(1/\kappa+n-1)/2} (\sin \varphi_0)^{1/\kappa+n-1}},$$

$$(3.28) \quad \delta = -\operatorname{arctg} \left[ \frac{\operatorname{tg} \varphi_2}{(1/\kappa+n)^{1/2}} \right],$$

$$(3.29) \quad x_2 = \frac{x_0 + \frac{H}{\delta} \int_{\varphi_0}^{\varphi_2} |\sin \varphi|^{1/\kappa+n-1} d\varphi}{1 + \frac{H}{\delta} \int_{\varphi_0}^{\varphi_2} |\sin \varphi|^{1/\kappa+n-1} d\varphi},$$

$$(3.30) \quad x_1 = x_0 - \frac{H(1-x_2)}{\delta} \int_{\varphi_1}^{\varphi_0} |\sin \varphi|^{1/\kappa+n-1} d\varphi,$$

$$(3.31) \quad \omega = \frac{\delta}{1-x_2},$$

$$(3.32) \quad \alpha = \frac{1}{\omega} \operatorname{tg}(\delta - \omega x_1),$$

$$(3.33) \quad \int_{\bar{\varphi}}^{\varphi_0} |\sin \varphi|^{1/\kappa+n-1} d\varphi = \frac{\omega x_0}{H},$$

Należy zauważyć, że równanie (3.33) przyjmuje postać:

$$(3.34) \quad \int_0^{\bar{\varphi}} (\sin \varphi)^{1/\kappa+n-1} d\varphi + \int_0^{\varphi_0} (\sin \varphi)^{1/\kappa+n-1} d\varphi = \frac{\omega x_0}{H} \quad \text{gdym: } \bar{\varphi} < 0, \text{ albo:}$$

$$(3.35) \quad \int_{\bar{\varphi}}^{\varphi_0} (\sin \varphi)^{1/\kappa+n-1} d\varphi = \frac{\omega x_0}{H}, \quad \text{gdym: } \bar{\varphi} \geq 0.$$

Po obliczeniu stałych:  $\varphi_1$ ,  $\varphi_2$ ,  $H$ ,  $\delta$ ,  $x_2$ ,  $x_1$ ,  $\omega$ ,  $\alpha$ ,  $\bar{\varphi}$  znajdujemy funkcje określające linie ugięcia pręta optymalnego:

$$(3.36) \quad v_1(x) = \frac{(\sin \varphi_1)^{1/\kappa+n}}{\sin \delta} \sin[\delta - \omega(x_1 - x)] \quad \text{dla: } 0 \leq x \leq x_1,$$



$$(3.37) \quad \begin{cases} v(\varphi) = (\sin \varphi)^{1/\kappa+n}, \\ x(\varphi) = x_1 + \frac{H}{\omega} \int_{\varphi_1}^{\varphi} |\sin \varphi|^{1/\kappa+n-1} d\varphi = x_2 - \frac{H}{\omega} \int_{\varphi}^{\varphi_2} |\sin \varphi|^{1/\kappa+n-1} d\varphi, \end{cases}$$

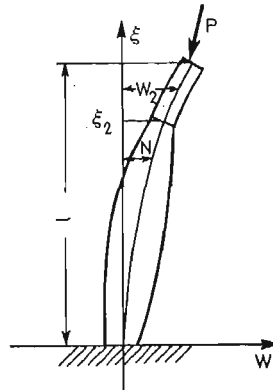
dla:  $x_1 \leq x \leq x_2$  ( $\varphi_1 \leq \varphi \leq \varphi_2$ ).

$$(3.38) \quad v_2(x) = \frac{(\sin \varphi_2)^{1/\kappa+n}}{\sin[\omega(1-x_2)]} \sin[\omega(1-x)], \quad \text{dla: } x_2 \leq x \leq 1.$$

Znaczne uproszczenie obliczeń otrzymamy zakładając, że w punkcie  $x_0$  występuje maksymalny przekrój  $\Phi_0$ . Odpowiada to przyjęciu:

$$(3.39) \quad \varphi_0 = \pi/2.$$

3.1. Ogólne równania (3.25) - (3.38) ulegają zmianie, gdy rozważamy przypadek takiego obciążenia pręta, który wymaga ograniczenia powierzchni przekroju tylko w górnej części pręta (rys. 2). Wykorzystując rozwiązania (3.10) i (3.14), warunki brzegowe (2.13)



Rys. 2

oraz warunki zszycia w punkcie  $x_2$  otrzymujemy:

$$\begin{aligned} A_1 &= 1, \\ A_2 &= \alpha(1/\kappa+n) \frac{\cos \bar{\varphi}}{(\sin \bar{\varphi})^{1/\kappa+n}}, \\ \varphi_2 &= \frac{\pi}{2} + \arccos(\Theta^{1/2} \sin \bar{\varphi}), \\ (3.40) \quad \omega &= \left\{ -\arctg \left[ \frac{\operatorname{tg} \varphi_2}{(1/\kappa+n)^{1/2}} \right] + \frac{(1/\kappa+n)^{1/2}}{\Theta^{(1/\kappa+n-1)/2} (\sin \bar{\varphi})^{1/\kappa+n-1}} \int_{\bar{\varphi}}^{\varphi_2} (\sin \varphi)^{1/\kappa+n-1} d\varphi \right\}, \\ \alpha &= \frac{\operatorname{tg} \bar{\varphi}}{\omega(1/\kappa+n)^{1/2} \Theta^{(1/\kappa+n-1)/2}}, \\ x_2 &= 1 + \frac{1}{\omega} \arctg \left[ \frac{\operatorname{tg} \varphi_2}{(1/\kappa+n)^{1/2}} \right]. \end{aligned}$$

Stałe  $C_1$  i  $C_2$  określone są wzorami (3.22), linię ugięcia pręta opisują wyrażenia:

$$(3.41) \quad \begin{cases} v(\varphi) = (\sin \varphi)^{1/\kappa+n}, \\ x(\varphi) = \frac{(1/\kappa+n)^{1/2}}{\omega (\sin \varphi_2)^{1/\kappa+n-1}} \int_{\bar{\varphi}}^{\varphi} (\sin \varphi)^{1/\kappa+n-1} d\varphi \end{cases} \quad \text{dla: } \begin{cases} \bar{\varphi} \leq \varphi \leq \varphi_2 \\ 0 \leq x \leq x_2, \end{cases}$$

$$(3.42) \quad v_2(x) = (\sin \varphi_2)^{1/\kappa+n} \frac{\sin[\omega(1-x)]}{\sin[\omega(1-x_2)]}, \quad \text{dla: } x_2 \leq x \leq 1,$$

a bezwymiarowe pole powierzchni przekroju dane jest równaniem:

$$(3.43) \quad \Phi(\varphi) = \Phi^* \frac{\sin^2 \varphi}{\sin^2 \varphi_2}.$$

Siłę krytyczną obliczamy, jak poprzednio, ze wzoru (3.20).

#### 4. Przykłady liczbowe

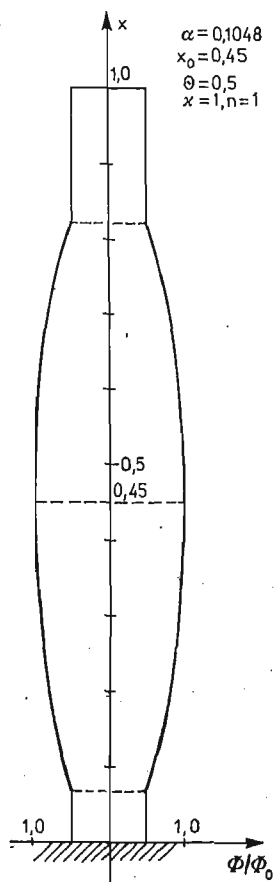
4.1. **Materiał liniowo-sprężysty:  $n = 1$ .** W przykładzie tym założymy, że ograniczenia inżynierskie na obu końcach pręta i że wyoboczenie zachodzi z płaszczyzny zbieżności, tzn. że:  $\kappa = 1$ . Wówczas otrzymujemy:

$$(4.1) \quad \begin{aligned} \varphi_1 &= \arcsin(\Theta^{1/2}), \quad \varphi_2 = \pi - \varphi_1, \quad H = \left(\frac{2}{\Theta}\right)^{1/2} \\ \delta &= \arctg \left\{ \left[ \frac{\Theta}{2(1-\Theta)} \right]^{1/2} \right\}, \\ x_2 &= \frac{x_0 + \frac{\sqrt{2}}{\delta} \left( \frac{1-\Theta}{\Theta} \right)^{1/2}}{1 + \frac{\sqrt{2}}{\delta} \left( \frac{1-\Theta}{\Theta} \right)^{1/2}}, \\ x_1 &= x_0 - \frac{\sqrt{2}(1-x_2)}{\delta} \left( \frac{1-\Theta}{\Theta} \right)^{1/2} = 2x_0 - x_2, \\ \omega &= \frac{\delta}{1-x_2}, \quad \alpha = \frac{1}{\omega} \operatorname{tg}(\delta - \omega x_1), \\ \bar{\varphi} &= -\arccos \left( 2 - \frac{\omega x_0}{H} \right), \\ \begin{cases} x(\varphi) = x_1 + \frac{H}{\omega} (\cos \varphi_1 - \cos \varphi), \\ \Phi(\varphi) = \varphi_0 \left\{ 1 - \left[ \cos \varphi_1 - \frac{\omega}{H} (x - x_1) \right]^2 \right\}. \end{cases} \end{aligned}$$

Równocześnie, korzystając z równania szóstego powyższego układu, możemy określić graniczne wartości współrzędnej  $x_0$ , dla której punkt zszycia  $x_1$  występuje w punkcie

utwierdzenia pręta. Przyjmując bowiem  $x_1 = 0$  mamy:

$$(4.2) \quad x_{0g} = \frac{\sqrt{2} \left( \frac{1-\theta}{\theta} \right)^{1/2}}{\operatorname{arctg} \left\{ \left[ \frac{\theta}{2(1-\theta)} \right]^{1/2} \right\} + 2\sqrt{2} \left( \frac{1-\theta}{\theta} \right)^{1/2}}.$$



Rys. 3

Zakładając np.:  $\theta = 0.5$ ;  $x_0 = 0.45$ , obliczamy:

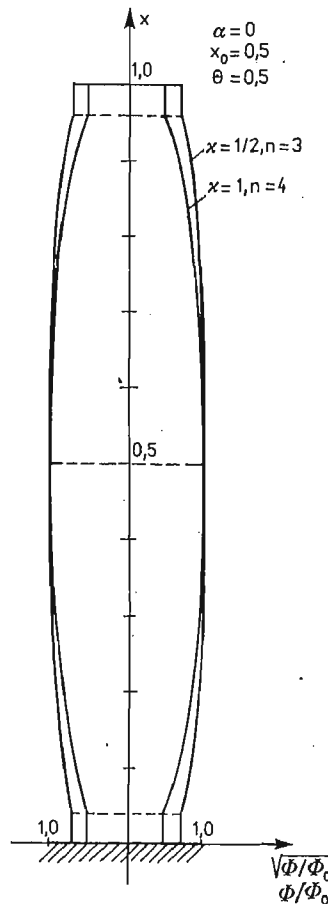
$$(4.3) \quad \begin{aligned} \varphi_1 &= 0.785398, & \varphi_2 &= 2.356194, & H &= 2, & \delta &= 0.615480, \\ x_2 &= 0.833219, & x_1 &= 0.066781, & \omega &= 3.690351, \\ \alpha &= 0.104801, & \bar{\varphi} &= 0.591098, \\ \Phi(x) &= \Phi_0(0.310554 + 3.064206x - 3.404673x^2), \\ P &= 6,809347 \frac{\eta J_0}{l^2}. \end{aligned}$$

Optymalny kształt pręta, odpowiadający powyższym danym, przedstawiono na rys. 3.

**4.2. Materiał nieliniowo-sprężysty:**  $1/\kappa+n = 5$ . W przykładzie drugim również przyjmujemy, że ograniczenia ingerują na obu końcach pręta i, że:  $1/\kappa+n = 5$ , tzn. albo:  $\kappa = 1, n = 4$ , albo:  $\kappa = 1/2$  i  $n = 3$ . Zakładając:  $\Theta = 0.5$  i  $x_0 = 0.5$  otrzymujemy:

$$(4.4) \quad \begin{cases} \varphi_1 = 0.785398, & \varphi_2 = 2.356194, & H = 8.944272, & \delta = 0.420534, \\ x_2 = 0.960259, & x_1 = 0.039471, & \omega = 10.581815, & \alpha = 0, \\ \begin{cases} x(\varphi) = 0.0021071 + 0.316968\varphi - 0.211312\sin 2\varphi + 0.026414\sin 4\varphi, \\ \Phi(\varphi) = \Phi_0 \sin^2 \varphi. \end{cases} \end{cases}$$

Optymalny kształt pręta, odpowiadający powyższym danym, przedstawiono na rys. 4.



Rys. 4

**4.3. Materiał liniowo-sprężysty:**  $n = 1$ . W przykładzie tym założymy, że ograniczenie przekroju występuje tylko w górnej części pręta sprężystego ( $n = 1$ ), płasko-zbieżnego ( $\kappa = 1$ ), ściskanego siłą eulerowską ( $\alpha \rightarrow \pm\infty$ ). Z równań (3.40) - (3.43) dostajemy tu proste rozwiązanie:

$$(4.5) \quad \begin{cases} \bar{\varphi} = \pi/2, \\ \varphi_2 = \pi/2 + \arccos(\Theta^{1/2}), \end{cases}$$

$$(4.5) \quad \omega = \left[ \frac{2(1-\Theta)}{\Theta} \right]^{1/2} + \arctg \left\{ \left[ \frac{\Theta}{2(1-\Theta)} \right]^{1/2} \right\},$$

[cd.]

$$x_2 = \frac{\left[ \frac{2(1-\Theta)}{\Theta} \right]^{1/2}}{\left[ \frac{2(1-\Theta)}{\Theta} \right]^{1/2} + \arctg \left\{ \left[ \frac{2(1-\Theta)}{\Theta} \right]^{-1/2} \right\}}.$$

1. Gdy  $\Theta \rightarrow 0$  rozwiązanie jest ważne dla kształtu optymalnego bez ograniczeń na przekrój:

$$\varphi_2 = \pi, \quad \omega \sim (2/\Theta)^{1/2}, \quad \alpha \rightarrow \infty, \quad x_2 = 1, \quad P = 2 \frac{EJ_0}{l^2}.$$

2. Gdy  $\Theta = 1$  otrzymujemy siłę krytyczną dla liniowo-sprężystego pręta pryzmatycznego:

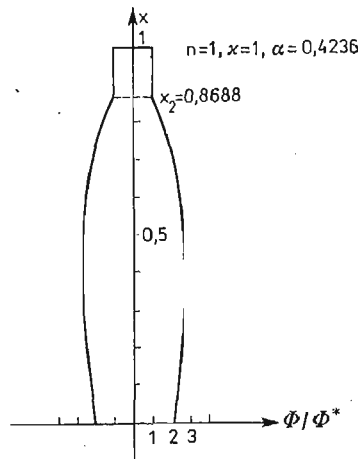
$$\varphi_2 = \pi/2, \quad \omega = \pi/2, \quad \alpha \rightarrow \infty, \quad x_2 = 0, \quad P = \frac{\pi^2}{4} \frac{EJ_0}{l^2}.$$

W innych przypadkach położenia bieguna, oraz dla dowolnych wartości parametrów  $n$ ,  $\kappa$  i  $\Theta$ , można wykonać tablice przedstawiające zależności parametrów  $\varphi_2$ ,  $\omega$ ,  $\alpha$ ,  $x_2$  od stałej  $\bar{\varphi}$ .

Na rys. 5 przedstawiono optymalny kształt pręta dla następujących danych:

$$n = 1, \quad \kappa = 1, \quad \Theta = 1/2, \quad \alpha = 0.4236, \quad \bar{\varphi} = 1, \quad \varphi_2 = 2.5043,$$

$$\omega = 3.6767, \quad x_2 = 0.8688, \quad P = 6.7591 \frac{EJ_0}{l^2}.$$



Rys. 5

Równania linii ugięcia oraz kształt optymalny są tu następujące:

$$(4.6) \quad \begin{cases} x(\varphi) = 0.6464(0.5403 - \cos \varphi), \\ v(\varphi) = \sin^2 \varphi, \\ \Phi(\varphi) = 2.8246 \Phi^* \sin^2 \varphi, \end{cases} \quad \text{dla: } 1 \leq \varphi \leq 2.5043,$$

$$\begin{cases} v_2(x) = 0.7637 \sin[\omega(1-x)], \\ \Phi_2 = \Phi^*. \end{cases} \quad \text{dla: } 0.8688 \leq x \leq 1,$$

## 5. Uwagi końcowe

W niniejszej pracy przedstawiono ściśle rozwiązanie analityczne problemu optymalnego kształtowania pręta ściskanego siłą skierowaną do bieguna, przy czym założono, że materiał pręta jest nieliniowo-sprężysty i może być opisany potęgowym prawem fizycznym. Na ogół w podobnych zagadnieniach, w których nakładamy pewne ograniczenia na zmienną sterowania, (przedstawionych np. w pracy [8]) zachodzi konieczność stosowania metod numerycznych z wykorzystaniem maszyn cyfrowych. Niniejsze rozwiązanie analityczne, otrzymane dla szczególnej postaci prawa fizycznego może stanowić zatem dobry test dokładności metody numerycznej.

## Literatura cytowana w tekście

1. A. GAJEWSKI, M. ŻYCZKOWSKI; *Optymalne kształtowanie pręta ściskanego siłą skierowaną do bieguna*, Rozpr. Inż., 2, 17, 1969, 299 - 329.
2. W. KRZYŚ; *Optymalne kształtowanie z uwagi na stateczność ściskanych słupów cienkościennych o profilu zamkniętym*, Zeszyty Nauk. Pol. Krak., Mechanika, z. 4, 1967.
3. W. KRZYŚ; *Optimale Formen gedrückter dünnwandiger Stützen im elastisch plastischen Bereich*, Wiss. Z. TU Dresden Internationale Stahlbautagung, 2, 17, 1968, 407 - 410.
4. A. GAJEWSKI; *Optymalne kształtowanie sprężysto-plastycznego słupa przy ogólnym konserwatywnym zachowaniu się obciążenia*, Rozpr. Inż., 1, 19, 1971, 65 - 83.
5. A. GAJEWSKI, M. ŻYCZKOWSKI; *An optimal forming of a bar compressed with subtangential force in elastic-plastic range*, Arch. Mech. Stos., 2, 23, 1971, 147 - 165.
6. A. GAJEWSKI, M. ŻYCZKOWSKI; *Optimal Design of Elastic Columns Subject to the General Conservative Behaviour of Loading*, ZAMP, 5, 21, 1970, 806 - 818.
7. M. FARSHAD, I. TADJBAKHS; *Optimum Shape of Columns with General Conservative End Loading*, JOTA, 4, 11, 1973, 413 - 420.
8. S. H. RASMUSSEN; *On the optimal shape of an elastic-plastic column*, The Danish Center for Appl. Math. and Mech., Report No. 96, Nov. 1975, 1 - 17.
9. F. R. SHANLEY; *Inelastic column theory*, J. Aeron. Sci., 12, 13, 1946.

## Резюме

## ОПТИМАЛЬНОЕ ПРОЕКТИРОВАНИЕ СТЕРЖНЕЙ, СЖИМАЕМЫХ ЦЕНТРАЛЬНОЙ СИЛОЙ, ПРИ СТЕПЕННОМ ФИЗИЧЕСКОМ ЗАКОНЕ

В настоящей работе представлено точное, аналитическое решение проблемы оптимального проектирования стержня, сжимаемого силой направленной к полюсу.

Предполагается, что материал стержня нелинейно-упругий или упруго-пластический и может быть определенным степенным физическим законом.

В работе принято во внимание тоже неравенственные ограничивающие условия на критические напряжения или на площадь поперечного сечения.

## Summary

## OPTIMAL DESIGN OF THE BARS, COMPRESSED BY A POLAR FORCE, SUBJECT TO THE POWER PHYSICAL LAW

In this paper, the exact analytical solution to the problem of optimal design of a cantilever compressed by a polar force is presented.

It is assumed that the material of the bar is nonlinearly elastic or elasto-plastic and it may be described by the power physical law.

The inequality constraints on the critical stress or cross-sectional area have been taken into account.

POLITECHNIKA KRAKOWSKA  
INSTYTUT FIZYKI

Praca została złożona w Redakcji dnia 22 grudnia 1978 roku